

Рассеяние радиоимпульсов на разомкнутом идеально проводящем кольце

С.Н. Разиньков, О.Э. Разинькова

ВУНЦ ВВС «Военно-воздушная академия им. проф. Н.Е. Жуковского и Ю.А. Гагарина»
394064, Российская Федерация, г. Воронеж
ул. Старых Большевиков, 54а

На основе численного решения интегро-дифференциальных уравнений с пространственно-временными операторами для эквивалентного осевого распределения тока и заряда проведен анализ вторичного излучения радиоимпульсов разомкнутым тонким идеально проводящим трубчатым кольцом. Исследованы зависимости энергетической диаграммы рассеяния кольца от его электрических размеров, вида и параметров облучающих сигналов.

Ключевые слова: радиоимпульс, эквивалентный ток осевого источника, удельная плотность заряда, численное решение интегро-дифференциальных уравнений, энергетическая диаграмма рассеяния объекта.

Исследование рассеяния радиоимпульсов на разомкнутом идеально проводящем кольце имеет практически важное значение для оценки радиолокационной заметности рамочных антенн [1; 2] и создания искусственных метаструктур с анизотропными отражательными свойствами [3].

В [2] с использованием интегральных уравнений Фредгольма первого рода [4] с экспоненциальной функцией Грина [1; 2] в приближении эквивалентного тока осевого нитевидного источника [2; 5] построена модель гармонического возбуждения и проведен анализ диаграммы рассеяния (ДР) круглой рамки из проводника с малым электрическим радиусом поперечного сечения. В [3; 6] методом сингулярных интегральных уравнений решена самосогласованная задача дифракции [1] плоской монохроматической электромагнитной волны на цилиндрическом, а в [7] – на плоском кольце из бесконечно тонкой узкой полоски с поперечным разрывом.

В предлагаемой работе на основе частичного обращения операторов [4; 8] пространственно-временных интегро-дифференциальных уравнений (ИДУ) относительно эквивалентного осевого распределения тока и заряда [5] выявлены закономерности вторичного излучения радиоимпульсов с прямоугольной и гауссовской огибающими разомкнутым кольцом из трубки малого электрического радиуса [5; 8] поперечного сечения с бесконечно тонкими идеально проводящими стенками.

Цель работы – анализ зависимостей энергетической ДР объекта [9] от его электрических размеров, вида и параметров облучающих сигналов.

Будем полагать, что кольцо расположено в плоскости $z = 0$ цилиндрической системы координат (ρ, φ, z) , ось Oz проходит через его центр, края разрыва поверхности равноудалены от направления $\varphi = 0$. Радиус кольца, измеряемый как расстояние от точки O до центральной продольной оси трубки, обозначим R_0 , радиус трубки – a_0 , угловую ширину разрыва – 2Δ , подразумевая, что $a_0 \ll R_0$, $\Delta < 2\pi$.

Пространственный фронт облучающего радиоимпульса является плоским; вектор электрического поля лежит в плоскости, проходящей через вектор, характеризующий направление на источник сигнала φ_0 , и ось, ортогональную Oz .

При длительности радиоимпульса $\tau \gg a_0/c$, где c – скорость света, поверхностному току кольца в каждый момент времени t сопоставим эквивалентный ток $\dot{I}(\varphi, t)$ нитевидного источника, удовлетворяющий граничным условиям $\dot{I}(\pm\Delta, t) = 0$; поверхностный заряд представим распределением его удельной плотности $q(\varphi, t)$ на окружности радиуса R_0 в секторе углов $\varphi \in [-\Delta; \Delta]$. Амплитуды реальных и эквивалентных токов и зарядов, как показано в [8], отличаются на малую величину порядка $O(a_0^2)$; смещением их зависимостей от времени $\Delta t = a_0/c$ можно пренебречь, поскольку $\Delta t \ll \tau$.

Энергетическая ДР объекта определяется выражением [9]

$$D(\varphi; \varphi_0) = \frac{\chi(\varphi; \varphi_0)}{\max_{\varphi} \chi(\varphi; \varphi_0)}, \quad (1)$$

где

$$\chi(\varphi; \varphi_0) = \int_{-\infty}^{\infty} \tilde{\chi}_t(\varphi, t; \varphi_0) dt \quad (2)$$

– угловая зависимость плотности потока энергии отраженного поля;

$$\tilde{\chi}_t(\varphi, t; \varphi_0) = \frac{4\pi}{W_0} \lim_{r \rightarrow \infty} r^2 |\dot{E}(r, \varphi, t; \varphi_0)|^2 \quad (3)$$

– угло-временное распределение плотности потока рассеиваемой в пространстве энергии; $|\dot{E}(r, \varphi, t; \varphi_0)|$ – текущее значение амплитуды рассеянного поля в пространственно-временной области; W_0 – волновое сопротивление свободного пространства; r – расстояние от начала системы координат до точки наблюдения.

Для исследуемого кольца с разрывом зависимость $|\dot{E}(r, \varphi, t; \varphi_0)|^2$ в (3) находится как сумма квадратов текущих значений азимутальной и радиальной составляющих рассеянного поля; выражения для расчета поляризационных компонентов поля по распределению токов объекта приведены в [10].

Касательная составляющая облучающего прямоугольного радиоимпульса на поверхности рассеивателя имеет вид

$$E_{tg}^i(\varphi, t; \varphi_0) = \begin{cases} E_0 \cos\left(\omega_0 \left(t - \frac{R_0 \cos(\varphi - \varphi_0)}{c}\right) + \psi_0\right) \\ \text{при } -\frac{\tau}{2} \leq t \leq \frac{\tau}{2}, \\ 0 \text{ при } t < -\frac{\tau}{2}, t > \frac{\tau}{2}, \end{cases} \quad (4)$$

где E_0 , ω_0 и ψ_0 – амплитуда, циклическая частота несущей и начальная фаза импульса; текущее значение тангенциальной проекции напряженности поля радиоимпульса с гауссовской огибающей определяется выражением

$$E_{tg}^i(\varphi, t; \varphi_0) = E_0 \exp\left(\frac{1}{2\tau^2} \left(t - \frac{R_0 \cos(\varphi - \varphi_0)}{c}\right)^2\right) \times \cos\left(\omega_0 \left(t - \frac{R_0 \cos(\varphi - \varphi_0)}{c}\right) + \psi_0\right). \quad (5)$$

Используя определение векторного и скалярного потенциалов, напряженности электриче-

ского поля, условие непрерывности его тангенциальной проекции на поверхности кольца с учетом калибровки Лоренца [10], запишем систему пространственно-временных ИДУ для $\dot{I}(\varphi, t)$ и $q(\varphi, t)$:

$$\begin{cases} \frac{\mu_0}{4\pi} \frac{\partial}{\partial t} \int_{-\Delta}^{\Delta} \frac{\dot{I}\left(\varphi', t - \frac{\Delta R}{c}\right)}{\Delta R} d\varphi' + \\ + \frac{1}{4\pi\epsilon_0} \frac{\partial}{\partial \varphi} \int_{-\Delta}^{\Delta} \frac{q\left(\varphi', t - \frac{\Delta R}{c}\right)}{\Delta R} d\varphi' = \\ = E_{tg}^i(\varphi, t; \varphi_0), \\ \frac{1}{R_0} \frac{\partial}{\partial \varphi} \int_{-\Delta}^{\Delta} \frac{\dot{I}\left(\varphi', t - \frac{\Delta R}{c}\right)}{\Delta R} d\varphi' + \\ + \frac{\partial}{\partial t} \int_{-\Delta}^{\Delta} \frac{q\left(\varphi', t - \frac{\Delta R}{c}\right)}{\Delta R} d\varphi' = 0, \end{cases} \quad (6)$$

где

$$\Delta R = R_0 \sqrt{4 \sin^2\left(\frac{\varphi - \varphi'}{2}\right) + \left(\frac{a_0}{R_0}\right)^2}$$

– расстояние между точкой интегрирования на осевой линии распределения эквивалентных токов и зарядов и точкой наблюдения на поверхности кольца; ϵ_0 и μ_0 – диэлектрическая и магнитная проницаемость вакуума.

Для численного решения системы ИДУ (6) применим кусочно-постоянную аппроксимацию зависимостей $\dot{I}(\varphi, t)$ и $q(\varphi, t)$ произведением последовательностей из N функций в секторах углов $\Delta\varphi$ и M функций на интервалах времени Δt ; частные производные указанных функций по φ и t вычисляются с применением разностных схем [5; 8; 11].

В результате представления эквивалентного тока кольца дискретными значениями α_{nm} , $n = 1 \dots N$, $m = 1 \dots M$, а удельной плотности заряда – множеством отсчетов β_{nm} , $n = 1 \dots N$, $m = 1 \dots M$ система ИДУ (6) преобразуется в систему линейных алгебраических уравнений (СЛАУ) с матричным оператором фредгольмового типа [4] размером $N \times N$ для каждого из M моментов времени

$$\alpha_{nm} F(0) + X_{nm} + Y_{nm} = \gamma_{nm}, \quad (7)$$

$$n = 1 \dots N, \quad m = 1 \dots M,$$

где

$$X_{nm} = \sum_{\substack{k=1, \\ m-|n-k|>0}}^N \alpha_{k,m-|n-k|} \Lambda(|n-k|) - \sum_{\substack{k=1, \\ m-1-|n-k|>0}}^N \alpha_{k,m-1-|n-k|} \Lambda(|n-k|), \quad (8)$$

$$Y_{nm} = \sum_{\substack{k=1, \\ m-1-|n+1-k|>0}}^{N-1} \beta_{k,m-1-|n+1-k|} \Omega(|n+1-k|) - \sum_{\substack{k=1, \\ m-1-|n-k|>0}}^{N-1} \beta_{k,m-1-|n-k|} \Omega(|n-k|); \quad (9)$$

$\gamma_{nm} = E_{tg}^i(n\Delta\varphi, m\Delta t; \varphi_0)$ – элементы вектор-столбца N удельных эквивалентных потенциалов, определяемые значениями комплексной амплитуды возбуждающего поля на поверхности кольца в направлении $\varphi = (n-1)\Delta\varphi$, $n = 1 \dots N$, в момент времени $t = (m-1)\Delta t$, $m = 1 \dots M$;

$$\Lambda(|n-k|) = \frac{\mu_0 \tilde{F}(|n-k|)}{4\pi \Delta t}, \quad n, k = 1 \dots N \quad (10)$$

– элементы матрицы погонных импедансов кольца;

$$\Omega(|n-k|) = \frac{\tilde{F}(|n-k|)}{4\pi \varepsilon_0 R_0 \Delta\varphi}, \quad n, k = 1 \dots N \quad (11)$$

– элементы матрицы обращенных емкостей кольца;

$$\begin{aligned} \tilde{F}(|k-n|) &= \frac{2}{\sqrt{a_0^2 + 4R_0^2}} \times \\ &\times \left[F \left(\arcsin \left(\frac{\sqrt{a_0^2 + 4R_0^2} \sin \tilde{\varphi}_{|k-n|}^+}{\sqrt{a_0^2 + 4R_0^2} \sin^2 \tilde{\varphi}_{|k-n|}^+} \right), \frac{2R_0}{\sqrt{a_0^2 + 4R_0^2}} \right) \right] - \\ &- F \left(\arcsin \left(\frac{\sqrt{a_0^2 + 4R_0^2} \sin \tilde{\varphi}_{|k-n|}^-}{\sqrt{a_0^2 + 4R_0^2} \sin^2 \tilde{\varphi}_{|k-n|}^-} \right), \frac{2R_0}{\sqrt{a_0^2 + 4R_0^2}} \right) \right]; \quad (12) \end{aligned}$$

$\tilde{\varphi}_{|k-n|}^\pm = (|k-n| \pm 0,5)\Delta\varphi$, $F(k, p)$ – эллиптический интеграл первого рода [11].

Решение СЛАУ (7) выполнено методом Гаусса с выбором главного элемента по столб-

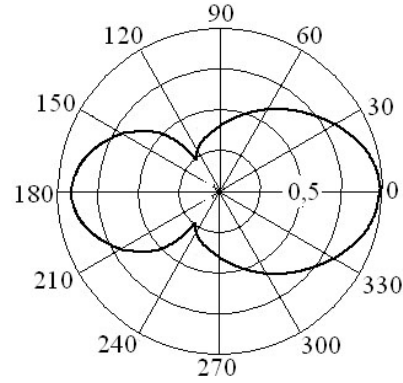


Рис. 1

цу [11] при последовательном продвижении по времени. Интервал Δt определялся по теореме Котельникова [12] для верхней границы эквивалентной полосы циклических частот возбуждающего сигнала [9; 13], величина $\Delta\varphi = c\Delta t/R_0$. Согласно [8], при выбранных значениях Δt и $\Delta\varphi$ обеспечиваются стабилизация разностных схем вычисления производных, устойчивость частичного обращения матричного оператора [4] и монотонная сходимости последовательностей, аппроксимирующих $\dot{I}(\varphi, t)$ и $q(\varphi, t)$. С учетом обращения эквивалентного тока в нуль при $\varphi = \pm\Delta$ коэффициенты α_{nm} , $n = 1 \dots N$, $m = 1 \dots M$ рассчитывались в центральных точках интервалов $\Delta\varphi$, а значения β_{nm} , $n = 1 \dots N$, $m = 1 \dots M$ – в точках, смещенных на $\Delta\varphi/2$ по азимутальной координате и на $\Delta t/2$ оси времени.

По найденному распределению эквивалентного тока и удельной плотности заряда в соответствии с [10] рассчитано вторичное поле; путем последовательной подстановки полученных результатов в (3), (2), (1) вычислена энергетическая ДР разомкнутого кольца.

На рис. 1 приведена энергетическая ДР кольца с шириной разрыва $2\Delta = \pi/15$ и относительными размерами $a_0/R_0 = 0,09$, облучаемого с направления $\varphi_0 = 0$ прямоугольным радиоимпульсом длительности $\tau = 6,25 R_0/c$ с циклической частотой $\omega_0 = 2\pi/\tau$ и начальной фазой $\psi_0 = 0$; на рис. 2 представлена энергетическая ДР кольца, возбуждаемого сигналом с гауссовской огибающей.

Из полученных результатов следует, что по аналогии с рассеянием монохроматических процессов [3; 6; 7] импульсные сигналы, переизлученные разомкнутым кольцом, имеют анизотропное угловое распределение. Энергетическая ДР кольца, возбуждаемого прямоугольным радиоимпульсом, содержит максимум в направлении, противоположном разрыву. При воздействии сигнала с гауссовской огибающей,

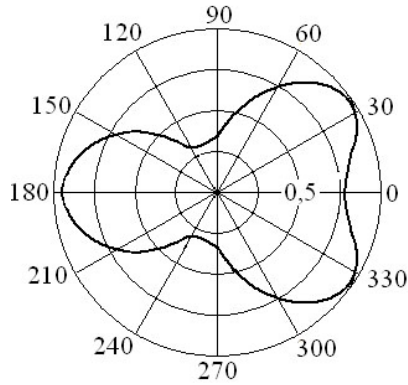


Рис. 2

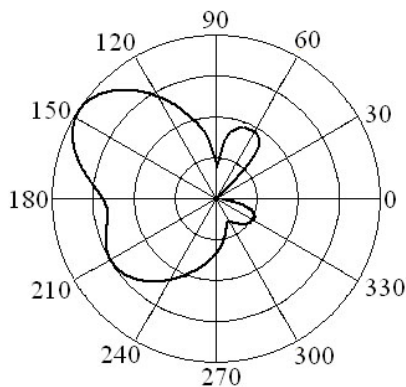


Рис. 4

эквивалентная длительность [13] которого составляет $1,2 \dots 1,35\tau$, в ДР появляется локальный экстремум в направлении $\varphi = \pi$, обусловленный уменьшением электрических размеров объекта по сравнению со случаем возбуждения прямоугольным радиоимпульсом.

Установлено, что при уменьшении длительности сигнала в $1,2 \dots 1,4$ раз или увеличении ширины разрыва кольца в $2,5 \dots 3,2$ раз плотность потока энергии поля, рассеянного в направлении на источник радиоизлучения, возрастает на $1,3 \dots 1,7$ дБ. При увеличении длительности прямоугольного радиоимпульса свыше $\tau = 7,12 R_0/c$ в ДР кольца в направлении $\varphi = \pi$ формируется провал, величина которого за счет изменения ширины разрыва от $2\Delta = \pi/15$ до $2\Delta = \pi/5$ возрастает на $1,7$ дБ.

С увеличением циклической частоты несущей в $1,5 \dots 2,5$ раза ширина энергетической ДР кольца уменьшается не менее чем в $1,2 \dots 1,35$ раза. При возрастании τ в $5 \dots 7,5$ раза уровень заднего лепестка энергетической ДР, приведенной на рис. 1, убывает на $2,2 \dots 2,5$ дБ.

На рис. 3 и 4 представлены энергетические ДР кольца, облучаемого прямоугольным радиоимпульсом с направлений $\varphi_0 = \pi$ и $\varphi_0 = \pi/2$ соответственно. Электрические размеры кольца

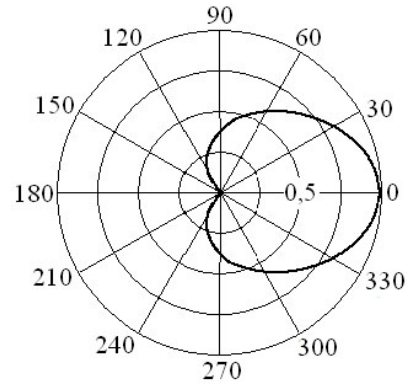


Рис. 3

и частотно-временные параметры облучающих сигналов выбраны такими же, как при расчете зависимости на рис. 1.

Из анализа рис. 3 следует, что ДР в направлении на источник радиоизлучения содержит нуль. По мере снижения длительности радиоимпульса в $1,3 \dots 1,5$ раза возникает эффект «заплывания» нуля [9; 13] при снижении плотности потока энергии вторичного излучения в направлении $\varphi = 0$ на $2,3 \dots 3,6$ дБ.

За счет увеличения длительности сигнала в $2,5 \dots 3,5$ раза средний уровень боковых лепестков ДР кольца возрастает на $1,2 \dots 1,4$ дБ по сравнению с зависимостью, представленной на рис. 4, с появлением локальных экстремумов глубины $4,4 \dots 4,5$ дБ.

Таким образом, на основе численного решения ИДУ с пространственно-временными операторами относительно эквивалентного осевого распределения тока и заряда проведен анализ вторичного излучения радиоимпульсов разомкнутым кольцом из идеально проводящей трубки с малым электрическим радиусом поперечного сечения и бесконечно тонкими стенками. Исследовано влияние вида и параметров облучающих сигналов, а также электрических размеров кольца на его ДР.

Список литературы

1. Неганов В.А., Табаков Д.П., Яровой Г.П. Современная теория и практические применения антенн. М.: Радиотехника, 2009. 720 с.
2. Lin J.-L., Chen K.-M. Minimization of backscattering of a loop by impedance loading – theory and experiment // IEEE Trans., Antennas and Propagation. 1968. Vol. 16. № 3. P. 299–304.
3. Неганов В.А., Градинарь И.М. Электродинамические свойства тонкопроволочных бианизотропных частиц для метаматериала // Физика волновых процессов и радиотехнические системы. 2011. Т. 14. № 3. С. 31–37.

4. Тихонов А.Н., Арсенин В.Я. Методы решения некорректных задач. М.: Наука, 1986. 288 с.
5. Schuman H. Time-domain scattering from a nonlinearly loaded wire // IEEE Trans., Antennas and Propagation. 1974. Vol. 22. № 5. P. 611–613.
6. Неганов В.А., Пряников Е.И., Табаков Д.П. Дифракция плоской электромагнитной волны Н-поляризации на идеально проводящем разомкнутом кольце // Физика волновых процессов и радиотехнические системы. 2008. Т. 11. № 1. С. 22–29.
7. Неганов В.А., Святкин Н.М., Табаков Д.П. Электродинамический анализ электромагнитного поля в ближней зоне кольцевой полосковой антенны // Физика волновых процессов и радиотехнические системы. 2006. Т. 9. № 4. С. 38–49.
8. Стрижков В.А. Моделирование переходных электромагнитных процессов в вибраторных антенных решетках // Антенны. 2006. № 11(114). С. 50–55.
9. Активные фазированные антенные решетки / под ред. Д.И. Воскресенского, А.И. Канащенкова. М.: Радиотехника, 2004. 488 с.
10. Самсонов А.В. Макроскопическая электродинамика. Вопросы теории пространственно-временных преобразований. М.: Радиотехника, 2006. 64 с.
11. Фильчаков П.Ф. Справочник по высшей математике. Киев: Наукова думка, 1972. 743 с.
12. Догадин Н.Б. Основы радиотехники. СПб.: Лань, 2007. 272 с.
13. Широкополосные и сверхширокополосные сигналы и системы / под ред. А.Ю. Гринева. М.: Радиотехника, 2009. 168 с.

The scatter of radio impulses by opened ideally carrying out ring

S.N. Razin'kov, O.E. Razin'kova

On the basis of the numerical solution of integrated-differential equations with existential operators for equivalent axial distribution of current and a charge the analysis of secondary radiation of radio impulses by the opened thin ideally carrying out tubular ring is carried out. Dependences of the power chart of dispersion of a ring on its electric sizes, type and parameters of irradiating signals are investigated.

Keywords: radio impulse, equivalent current of axial source, charge specific density, numerical solution of integrated-differential equations, power scatter chart of object.

Неганов, В.А.

Теория и применение устройств СВЧ: учебн. пособие для вузов / В.А. Неганов, Г.П. Яровой; под ред. В.А. Неганова. – М.: Радио и связь, 2006. – 720 с.

ISBN 5-256-01812-4

УДК 621.396.67

ББК 32.840

Н 41

**ТЕОРИЯ И ПРИМЕНЕНИЕ
УСТРОЙСТВ СВЧ**

В.А. Неганов, Г.П. Яровой



В учебном пособии рассматриваются методы проектирования и конструктивной реализации устройств СВЧ: линий передачи различных видов, резонаторов, согласующих и трансформирующих устройств, фильтров, фазовращателей, аттенуаторов, тройниковых соединений, направленных ответвителей, различных мостовых соединений, ферритовых устройств (вентилей, циркуляторов, фазовращателей) и СВЧ-устройств на полупроводниковых диодах (умножителей, смесителей, переключателей, выключателей). Приводятся примеры применения устройств СВЧ в радиосвязи, радиолокации, измерительной аппаратуре и т. д. В книгу вошел оригинальный материал, полученный авторами. Учебное пособие может использоваться как справочник по устройствам СВЧ.

Для специалистов в области теории и техники СВЧ, преподавателей вузов, докторантов, аспирантов, студентов старших курсов радиотехнического и радиофизического профиля.